

ТЕХНИКА ЯДЕРНОГО ЭКСПЕРИМЕНТА

УДК 539.1.074.6

ДВУХКООРДИНАТНЫЙ СЦИНТИЛЛЯЦИОННЫЙ ГОДОСКОП НА БАЗЕ ФЭУ-85 ЭКСПЕРИМЕНТА СПАСЧАРМ НА УСКОРИТЕЛЬНОМ КОМПЛЕКСЕ У-70

© 2024 г. А. В. Рязанцев^{а,*}, А. Н. Васильев^а, Ю. М. Гончаренко^а, А. П. Мещанин^а,

В. В. Моисеев^а, В. В. Мочалов^а, П. А. Семенов^а

^аИнститут физики высоких энергий им. А.А. Логунова

Национального исследовательского центра “Курчатовский институт”

Россия, 142281, Протвино, Московская обл., пл. Науки, 1

* e-mail: ryazants@ihep.ru

Поступила в редакцию 29.07.2024 г.

После доработки 19.09.2024 г.

Принята к публикации 25.09.2024 г.

Представлен двухкоординатный сцинтилляционный годоскоп, собранный с использованием отечественных фотоэлектронных умножителей ФЭУ-85 и высокочувствительных формирователей, разработанных и изготовленных в ИФВЭ. Показаны особенности конструкции и приведены его характеристики при работе в составе экспериментальной установки на пучках канала 14 ускорительного комплекса У-70.

1. ВВЕДЕНИЕ

В многоцелевом эксперименте СПАСЧАРМ (спиновые асимметрии в образовании чармония) в НИЦ “Курчатовский институт”–ИФВЭ на канале 14 ускорительного комплекса У-70 в настоящее время продолжается обширная программа исследований [1]. Экспериментальная установка СПАСЧАРМ [2] имеет в своем составе четыре станции двухкоординатных сцинтилляционных годоскопов, которые расположены на фиксированном расстоянии друг от друга вдоль оси пучка до его входа в мишень [3]. Эти детекторы предназначены для вычисления координат точки взаимодействия пучковой частицы с веществом мишени.

В данной работе описаны оригинальные технические решения, использованные при разработке конструкции и изготовлении годоскопа первой станции, и приведены

некоторые экспериментальные результаты, характеризующие важность этого детектора для качественного анализа данных.

2. КОНСТРУКЦИЯ ГОДОСКОПА

Требуемые геометрические размеры чувствительной области и координатное разрешение годоскопа определяются размерами пучка в месте его расположения на расстоянии десяти метров от центра поляризованной мишени. Опираясь на результаты экспериментов, которые были проведены ранее на канале 14 [4], было решено изготовить годоскоп, перекрывающий площадь около 5×5 см² и определяющий координату заряженной частицы с точностью не хуже 2 мм.

Чувствительная область каждой из координатных плоскостей годоскопа составлена из 24 сцинтилляционных палочек из полистирола и имеет размеры $50 \times 2 \times 4$ мм³ (соответственно длина, ширина и толщина по пучку). Все палочки обернуты алюминизированным майларом толщиной 25 мкм и плотно прилегают друг к другу. Плоскости расположены одна за другой на минимальном расстоянии. Оптические световоды из оргстекла, имеющие одинаковое сечение со сцинтилляторами, приклеены к ним оптической эпоксидной смолой и также обернуты алюминизированным майларом по всей длине до стыковки с фотодетектором.

В качестве детектора сцинтилляционного сигнала был выбран недорогой и надежный малогабаритный фотоэлектронный умножитель ФЭУ-85 (диаметр фотокатода составляет 25 мм при длине колбы 107 мм) с сурьмяно-цезиевым фотокатодом, обладающим высокой спектральной чувствительностью и низким темновым током. Его временные и спектрометрические параметры хорошо изучены [5] и подходят для успешного решения поставленной задачи.

Светонепроницаемый алюминиевый корпус годоскопа имеет квадратную форму. Внутри него вдоль каждой стороны размещены по 12 штук ФЭУ, разделенных тонкими перегородками из текстолита. Резистивные высоковольтные делители напряжения изготовлены по рекомендованной для этого типа ФЭУ схеме. Сопротивление каждого из них составляет около 2.2 МОм. Питание всех ФЭУ осуществляется от общего источника высокого напряжения. Для индивидуальной настройки каждого счетчика используются многооборотные потенциометры типа СП-37Б (1 Вт, 2.2 МОм), включенные последовательно с делителями. Они смонтированы на двух одинаковых печатных платах. Оси потенциометров выведены на переднюю панель разработанного для них модуля. Высокое напряжение от источника (в рабочем режиме составляет 1100 В) подается на

разъем, установленный на задней панели этого модуля. Там же находятся два многоконтактных разъема типа RM32, от которых питающие напряжения ФЭУ по многожильным кабелям передаются на два таких же разъема, смонтированных на корпусе годоскопа. Высоковольтный источник и регулировочный модуль установлены в стойке электроники в домике с регистрирующей аппаратурой системы сбора данных, куда приходят сигналы с годоскопа. Это техническое решение позволяет осуществлять подстройку отдельных каналов годоскопа непосредственно при работе с пучком.

Важной особенностью годоскопа является использование высокочувствительных формирователей НПФ-12, разработанных и изготовленных в ИФВЭ [6], размещенных близко к фотоэлектронным умножителям внутри корпуса. Данное решение позволило снизить их рабочие напряжения и, как следствие, уменьшить темновые токи и ослабить загрузочные эффекты. Тест со светодиодом показал, что при таком включении каждый канал годоскопа может обеспечить регистрацию импульсов с частотой до 10 МГц без потери эффективности. С учетом того, что при наборе данных интенсивность пучка не превышает $3 \cdot 10^6$ частиц/с, отпадает необходимость в подпитке последних динодов ФЭУ. Питание всех формирователей осуществляется от источника напряжения отрицательной полярности номиналом 6 В, расположенного рядом с годоскопом. Выходные сигналы формирователей выведены на разъемы CP-50, размещенные с двух сторон корпуса годоскопа, и по коаксиальным кабелям с волновым сопротивлением 50 Ом поступают к регистрирующей аппаратуре системы сбора данных. Здесь они преобразуются в парафазные LVDS (low-voltage differential signaling) импульсы и приходят на входы время-цифрового преобразователя (ВЦП) EM-4 в крейт системы “ЕвроМИСС” [7]. Фотография годоскопа со снятой крышкой, приведенная на рис. 1, наглядно иллюстрирует расположение всех его компонентов внутри корпуса.

3. ЭКСПЕРИМЕНТАЛЬНЫЕ РЕЗУЛЬТАТЫ

Были проанализированы данные, полученные в ходе тестового сеанса в декабре 2023 года на выведенном в канал 14 пучке протонов 50 ГэВ/с. Сигналы со всех детекторов установки регистрировались по общему триггеру, сформированному из совпадения сигналов от трех сцинтилляционных пучковых счетчиков.

На рис. 2 приведены суммарные спектры времен регистрации сигналов со всех каналов годоскопа относительно триггера по координате x (рис. 2а) и по координате y (рис. 2б) во временном окне 200 нс.

Анализ результатов проводился для всех событий временных спектров во временном окне 20 нс (с 90 по 110 деления шкалы абсцисс). Профили пучка по обеим координатам годоскопа показаны на рис. 3.

На рис. 4 приведены нормированные распределения множественности – вероятностные распределения количества хитов в каждой из плоскостей на один триггер в заданном временном окне. Из этих гистограмм следует, что неэффективность годоскопа (нулевая множественность) составляет около 2.8% по координате x и около 2.0% по координате y . Если же при вычислении эффективности добавить условие обязательного наличия трека в центральной области пучка размером 10×10 мм², восстановленного по другим годоскопам установки, то для обеих плоскостей получается значение около 99%.

На рис. 5 показаны корреляции сигналов по двум координатам в каналах годоскопа первой станции (горизонтальная ось) с сигналами от сцинтилляционного волоконного годоскопа (вертикальная ось), расположенного далее по пучку на расстоянии 6.75 м.

4. ЗАКЛЮЧЕНИЕ

Представленный в настоящей работе двухкоординатный сцинтилляционный годоскоп с шагом дискретизации 2 мм показал высокую надежность функционирования и стабильность параметров при работе в составе экспериментальной установки СПАСЧАРМ на выведенных пучках заряженных частиц ускорительного комплекса У-70. Эффективность каждой из плоскостей годоскопа выше 97%. Изготовленный полностью из отечественных компонентов в экспресс-мастерской физической лаборатории ИФВЭ, годоскоп обладает низкой стоимостью и простотой в обслуживании.

БЛАГОДАРНОСТИ

Коллектив авторов выражает признательность администрации института за поддержку данной работы.

Искренняя благодарность адресуется В.А. Кормилицыну, который собрал представленный в работе годоскоп.

ФИНАНСИРОВАНИЕ РАБОТЫ

Работа выполнена в НИЦ “Курчатовский институт”–ИФВЭ при финансовой поддержке Российского научного фонда (грант № 22-12-00164).

СПИСОК ЛИТЕРАТУРЫ

1. *Abramov V.V., Azhgirey I.L., Borisov A.A. et al. // Physics of Particles and Nuclei. 2023. V. 54. № 1. P. 69. <https://doi.org/10.1134/S1063779623010021>*
2. *Семенов П.А., Алексеев Г.Д., Алексеев И.Г. и др. Экспериментальная установка СПАСЧАРМ для исследования спиновых эффектов в адронных взаимодействиях на ускорительном комплексе У-70. Препринт ИФВЭ 2023-13, Протвино, 2023.*
3. *Рязанцев А.В., Букреева С.И., Васильев А.Н., Горин А.М., Гончаренко Ю.М., Моисеев В.В., Мочалов В.В., Семенов П.А. // ПТЭ. 2023. Т. 66. № 4. С. 48. <https://doi.org/10.31857/S0032816223030096>*
4. *Апокин В.Д., Беликов Н.И., Васильев А.Н. и др. // ПТЭ. 1998. № 4. С. 23.*
5. *Бондаренко В.Г., Григорьев В.А., Макляев Е.Ф., Рунцо М.Ф. // ПТЭ. 1975. № 4. С. 160.*
6. *Балдин Б.Ю. // ПТЭ. 1980. № 5. С. 137.*
7. *Букреева С.И., Емельянов Н.М., Исаев А.Н., Карпеков Ю.Д., Киселев Ю.С., Петров В.С., Сенько В.А., Солдатов М.М., Шаланда Н.А., Якимчук В.И. // ПТЭ. 2014. № 6. С. 23. <https://doi.org/10.7868/S003281621405005X>*

ПОДПИСИ К РИСУНКАМ

- Рис. 1.** Фотография двухкоординатного сцинтилляционного годоскопа в составе экспериментальной установки СПАСЧАРМ на канале 14.
- Рис. 2.** Суммарные спектры времен регистрации сигналов со всех каналов годоскопа относительно триггера: **а** – по координате x , **б** – по координате y .
- Рис. 3.** Профили пучка – статистика числа событий в каналах годоскопа: **а** – по координате x , **б** – по координате y .
- Рис. 4.** Нормированные распределения множественности: **а** – по координате x , **б** – по координате y .
- Рис. 5.** Корреляции сигналов в каналах двух годоскопов: **а** – по координате x , **б** – по координате y . По осям отложены номера каналов: по горизонтальным – годоскопа первой станции, а по вертикальным – сцинтилляционного волоконного годоскопа.

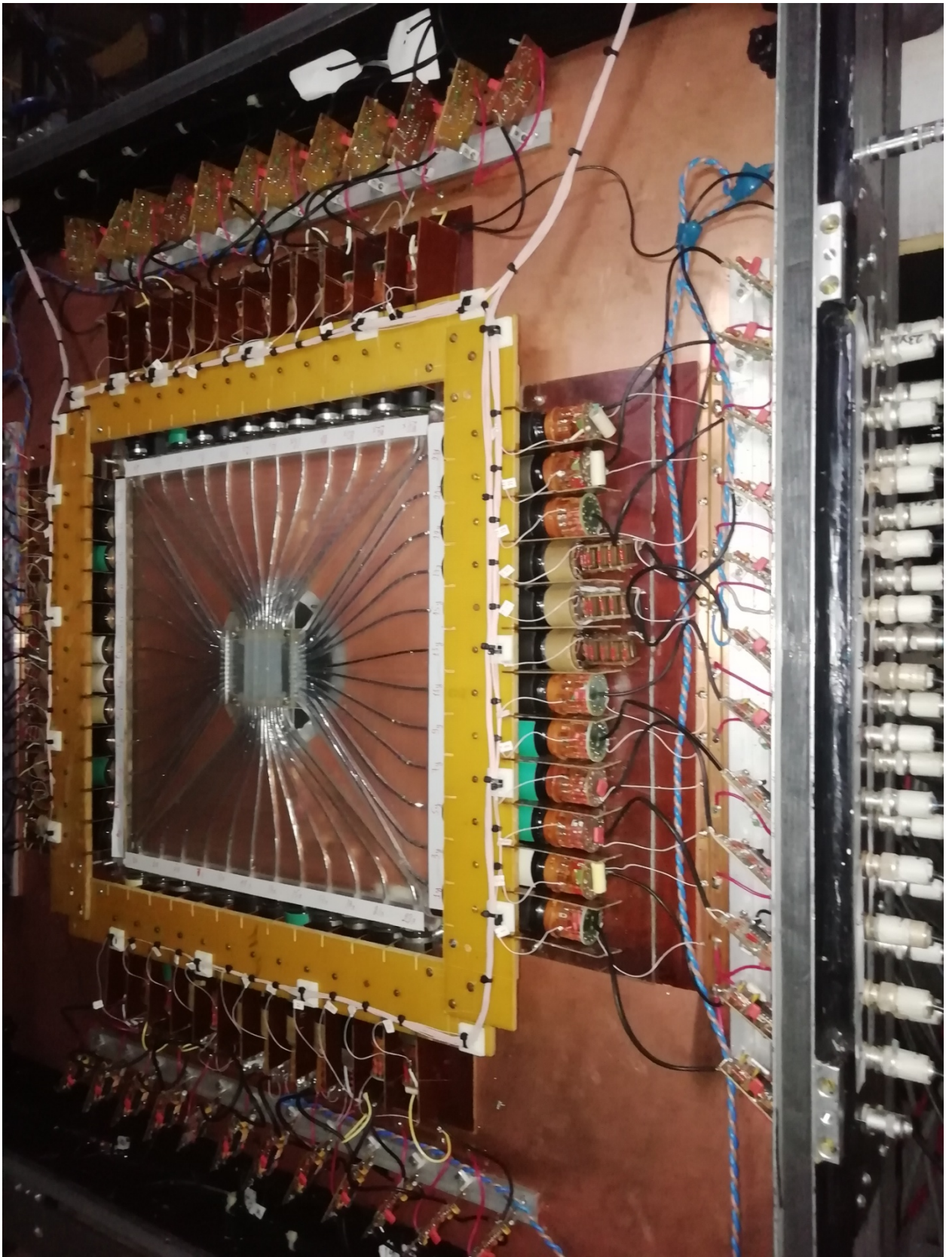


Рис. 1.

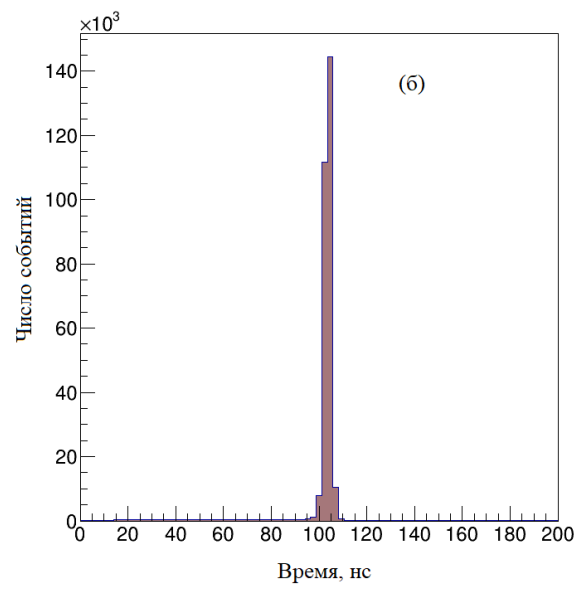
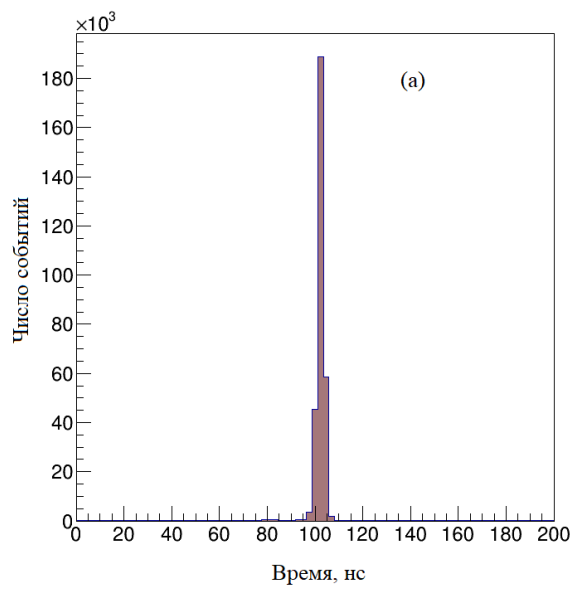


Рис. 2.

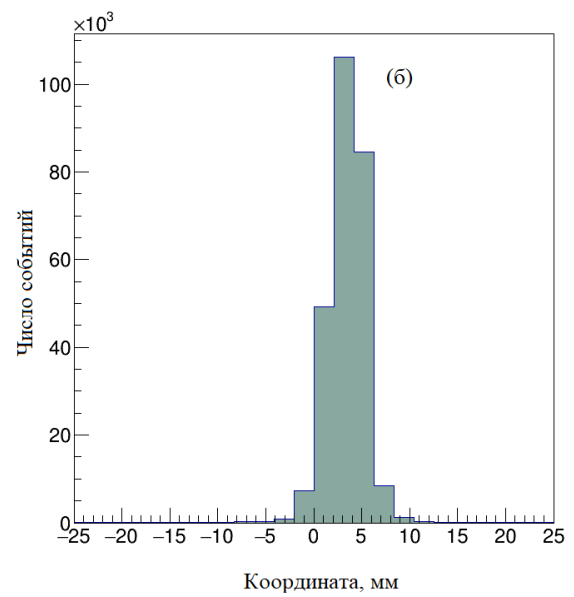
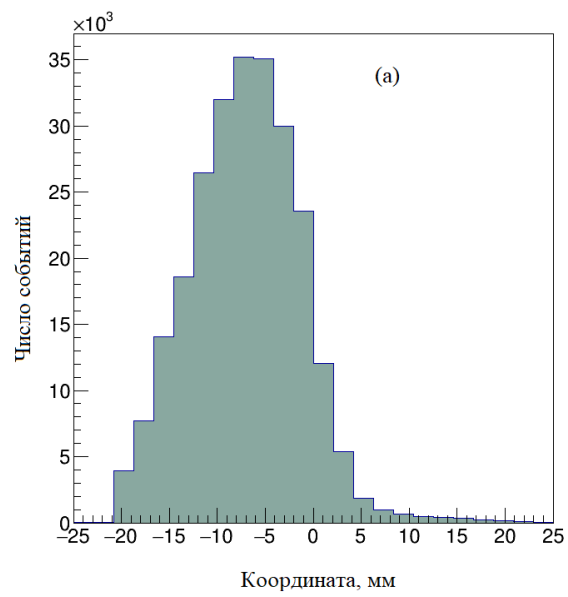


Рис. 3.

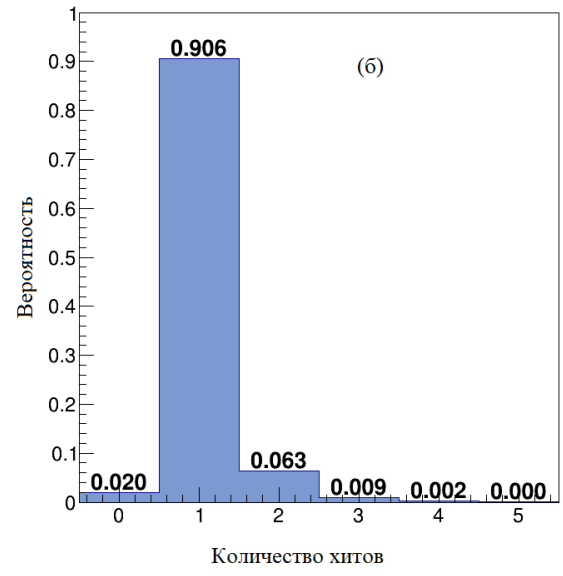
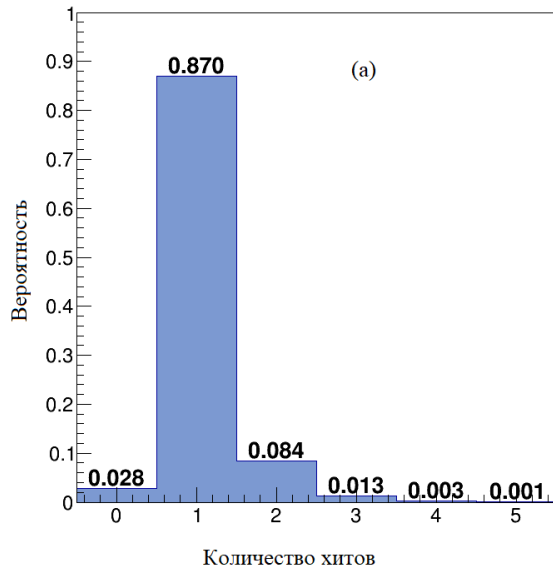


Рис. 4.

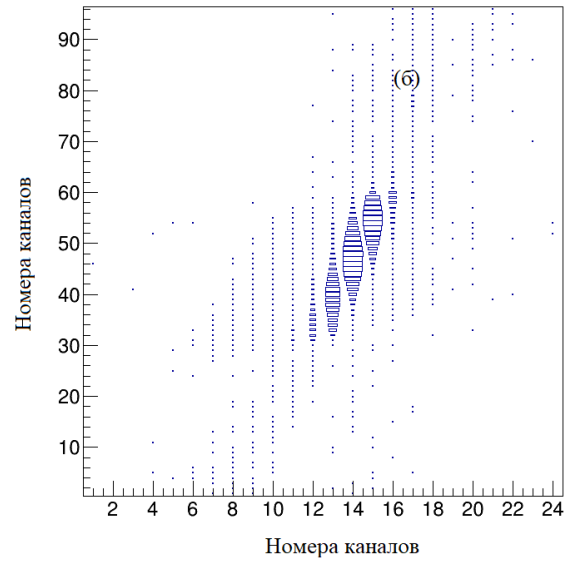
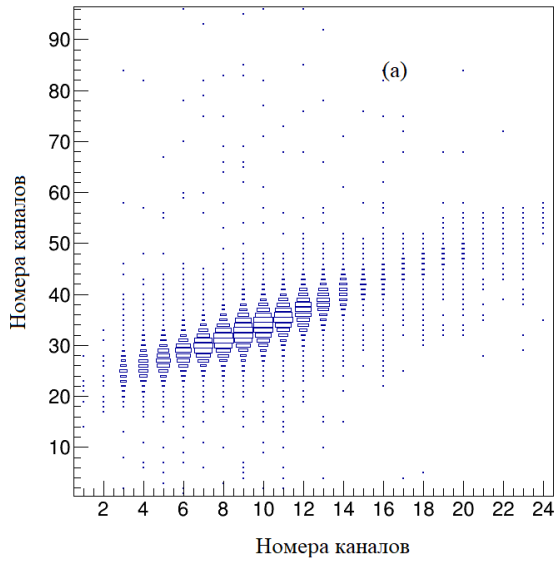


Рис. 5.

~~Two-dimensional scintillation hodoscope based on FEU 85 of the SPASCHARM experiment at the U-70 accelerator complex~~

~~A two-dimensional scintillation hodoscope assembled using domestic photomultiplier tubes FEU 85 and highly sensitive shapers which are developed and manufactured at IHEP is presented. The design features are shown and its characteristics are given when operating as the part of an experimental setup in the beam channel 14 of the U-70 accelerator complex.~~